

MBE 법으로 성장시킨 $\text{Al}_x\text{Ga}_{1-x}\text{As}$ 에피층의 Photoreflectance 특성에 관한 연구

이정열 · 김인수* · 손정식 · 김동렬 · 배인호 · 김대년**

영남대학교 물리학과, *한국산업대학 전자공학과, **대구보건대학 안경광학과
(1998년 6월 9일 접수)

The study on photoreflectance characteristics of the $\text{Al}_x\text{Ga}_{1-x}\text{As}$ epilayer grown by MBE method

Jung-Yeul Lee, In-Soo Kim*, Jeonng-Sik Son, Dong-Lyeul Kim,
In-Ho Bae and Dae-Nyoun Kim**

Department of Physics, Yeungnam University

*Department of Electronics Engineering, Hankook University

**Department of Ophthalmic Optics, Daegu Health College

(Received June 9, 1998)

요약 – MBE법에 의해 성장된 $\text{Al}_x\text{Ga}_{1-x}\text{As}$ 에피층의 특성을 photoreflectance(PR) 측정으로 분석하였다. Low power Franz Keldysh(LPKF)를 만족하는 GaAs 완충층에 의한 Frang-Keldysh Oscillation(FKO) 분석에서 띠간격에너지(E_0) 값은 1.415 eV, 계면 전기장(E)은 1.05×10^4 V/cm, 운반자 농도(N)는 $1.3 \times 10^{15} \text{ cm}^{-3}$ 였다. PR 상온 스펙트럼 분석에서 $E_0(\text{Al}_x\text{Ga}_{1-x}\text{As})$ 신호 아래 A^* 피크는 시료 성장시 존재하는 불순물 carbon에 의한 것으로 완충층 GaAs 보다 다소 PR 신호 세기가 낮고 왜곡된 신호를 나타내었다. 또한, GaAs 완충층의 트랩 특성시간은 약 0.086 ms 정도이며, 1.42 eV 부근 두 개의 중첩된 PR 신호는 화학적 식각으로 GaAs의 기판에 의해 나타나는 3차 미분형 신호와 GaAs 완충층에 의해 나타나는 FKO 신호가 중첩되어 나타남을 알 수 있었다.

Abstract – We analyzed photoreflectance (PR) characterization of the $\text{Al}_x\text{Ga}_{1-x}\text{As}$ epilayer grown by molecular beam epitaxy (MBE) method. The band-gap energy (E_0) satisfying low power Franz-Keldysh (LPFK) due to GaAs buffer layer is 1.415 eV, interface electrical field (E) is 1.05×10^4 V/cm, carrier concentration (N) is $1.3 \times 10^{15} \text{ cm}^{-3}$. In PR spectrum intensity analysis at 300 K the A^* peak below E_0 signal is low and distorted because of residual impurity in sample growth. The trap characteristic time (τ) of GaAs buffer layer is about 0.086 ms, and two superposed PR signal near 1.42 eV consist of the third derivative signal of chemically etched GaAs substrate and Franz-Keldysh oscillation (FKO) signal due to GaAs buffer layer.

1. 서 론

Photoreflectance(PR) 분광법은 반도체의 전자적 구조를 조사하거나, 화합물 반도체의 이종접합 구조에서 띠사이 전이나 전기장 분포 및 결정성을 평가하는데 이용되고 있는 도구로서[1] 특히 시료의 띠간격 에너지(E_0)와 표면 및 계면의 운반자 농도(N)를 측정하는데 정확한 방법을 제공하는 비파괴적이고, 비접촉적인 광학적 기술로서 많은 연구가 진행되고 있다[2]. 그리고 상온에서도 뚜

렷하고 날카로운 미분형 신호를 가지기 때문에 띠간격 에너지를 높은 정밀도로 측정할 수 있을 뿐만 아니라 표면이나 계면의 상태에 대해서 민감하게 반응하는 신호를 가진다. 따라서 이러한 미분형의 신호로 인해 반도체의 표면과 계면 그리고 미세구조 등을 연구하는데 유용한 도구가 되어왔다[3,4]. 특히 Huang[5]와 Sydor[6] 등은 불순물이 첨가되지 않은 $\text{Al}_x\text{Ga}_{1-x}\text{As}$ 시료들에 대한 띠 가장자리(band edge)를 입증하는 연구를 수행된 바 있지만, 여러 변조원의 변화에 따른 $\text{Al}_x\text{Ga}_{1-x}\text{As}$ 시료의

특성 조사는 다소 미흡한 편이다.

본 연구에서는 molecular beam epitaxy(MBE)법으로 $\text{Al}_x\text{Ga}_{1-x}\text{As}$ 에피층을 성장하여 변조빔의 세기, 광단속 주파수 및 식각 등의 변화에 따른 시료의 특성을 PR 측정으로 조사하였다. 여러 변조원의 변화에 따라 관측된 PR 스펙트럼의 Franz-Keldysh oscillation(FKO) 신호로부터 시료의 섭동 특성에너지($\hbar\Omega$), 띠간격 에너지(E_0), 계면 전기장(E_i), 운반자 농도(N) 및 Al 조성비(x)를 결정하였으며, 식각에 의한 $\text{Al}_x\text{Ga}_{1-x}\text{As}$ 에피층의 특성을 PR 신호의 분석으로 알아보았다.

2. 실험장치 및 방법

본 연구에서는 molecular beam epitaxy(MBE)법에 의해 반결연성 GaAs(100) 기판 위에 완충층 GaAs(0.5 μm)를 성장시킨 후, $\text{Al}_x\text{Ga}_{1-x}\text{As}$ (0.5 μm) 에피층을 성장하여 $\text{Al}_x\text{Ga}_{1-x}\text{As}/\text{GaAs}/\text{SI-GaAs}$ 이종접합 구조를 사용하였다.

PR 측정은 여기광으로 He-Ne 레이저(6328 Å)를 사용하였으며, 레이저의 변조 주파수는 광단속기를 사용하여 800 Hz로 고정하였다. 그리고 probe beam으로는 235 W 텅스텐-할로겐 광원을 사용하였다. 이를 초점거리가 0.25 m인 monochromator(Spex 270M)를 사용하여 단색화된 빛을 얻었으며, 이 빛을 렌즈로 집속시켜 시료에 입사시켰다. 반사된 빛은 p-i-n silicon photodiode를 사용하여 검출하였으며, 검출된 신호는 phase sensitive detector(PSD)인 lock-in amplifier(EG&G PAR 5209)로 증폭하였다. 규격화된 변조 반사율($\Delta R/R$)은 lock-in amplifier에서 ratio function을 이용하여 얻었다. 그리고 시료의 상대반사율 측정시 외부로부터 빛을 차단하기 위해 암상자를 사용하였으며, PR 측정은 온도 300 K에서 수행하였다.

3. 실험결과 및 논의

Fig. 1(a)에서는 기판으로 사용된 반결연성 GaAs와 이 기판 위에 완충층 GaAs를 성장한 다음, 불순물을 첨가시키지 않고 성장시킨 $\text{Al}_x\text{Ga}_{1-x}\text{As}$ 에피층에 대하여 상온에서 측정한 PR 스펙트럼들을 나타내었다.

측정조건은 변조빔으로 8 mW He-Ne 레이저(6328 Å)를 사용하여 광단속 주파수 800 Hz로 수행하였다. 이러한 조건으로 측정된 PR 신호의 형태는 그림에서 본 바와 같이 3차 미분형으로써, 먼저 기판 GaAs에 대한 PR

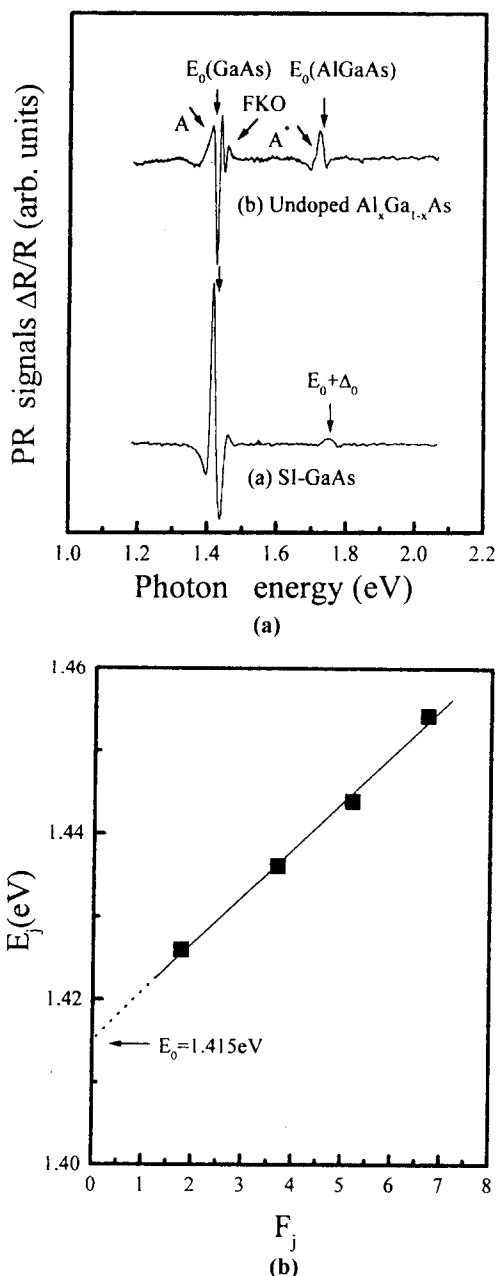


Fig. 1. (a) PR spectra of the semi-insulating GaAs and $\text{Al}_x\text{Ga}_{1-x}\text{As}$ epilayer measured at 300 K.

신호의 전이 에너지 위치는 각각 1.42 eV와 1.72 eV 부근에서 관측되었다. 이는 띠간격 에너지(E_0) 및 전도띠와 spin orbital($E_0 + \Delta_0$) 간의 전이에 대응된다. 그러나 $\text{Al}_x\text{Ga}_{1-x}\text{As}$ 에피층 경우에는 약 1.42 eV 부근의 GaAs에

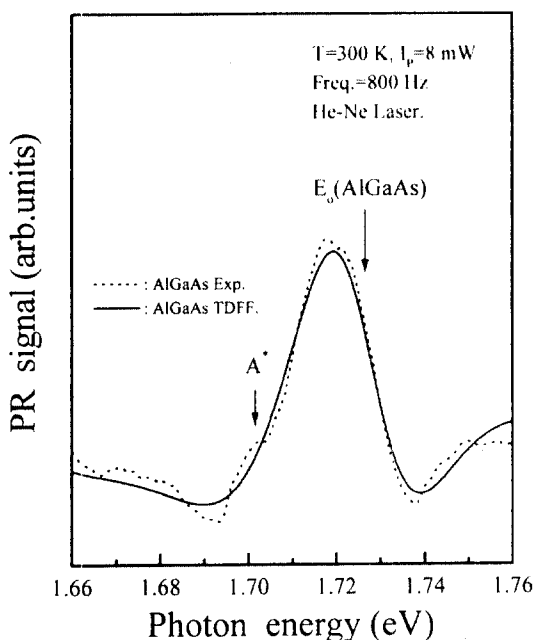


Fig. 2. TDFF fitted graph of PR spectrum in Al_xGa_{1-x}As epilayer.

의한 E_o 신호 및 Al_xGa_{1-x}As 에피층에 의한 E_o 신호가 관측되었으며, GaAs의 E_o 신호보다 낮은 에너지 영역에 A로 표시된 어깨 신호가 나타났다. 이는 기판 GaAs와 성장된 GaAs 완충층 사이의 간섭효과로 인해 PR 신호가 중첩되어 나타난 것으로 보여진다. 그리고 GaAs의 주된 신호 이상 에너지 영역에서 관측된 Franz-Keldysh oscillation(FKO) 신호는 GaAs와 AlGaAs의 띠간격 에너지 차이로 인해 나타나는 것이다. 또한 약 1.72 eV 부근에서 Al_xGa_{1-x}As 에피층의 E_o 신호와 약 20 meV 정도 저 에너지 쪽에 A*로 표시된 어깨신호가 관측되었다. A* 피크는 불순물 구조에 의한 것인지 아니면 밴드간 전이에 의한 것인지는 Fig. 3(a)와 (b)에서 상세하게 다루겠다.

일반적으로 반도체에서 PR 측정시 관측되는 신호는 표면 전기장(E_s)의 크기에 따라 높은 전기장 상태(hight-field condition)와 낮은 전기장 상태(low-field condition)로 나누어진다. 높은 전기장 상태는 표면 전기장이 큰 경우와 불순물을 첨가시킨 시료에서 나타나고, 낮은 전기장 상태는 불순물을 첨가되지 않은 시료에서 관측된다. 따라서 Aspnes[2]는 다음 식을 만족할 때 낮은 전기장 상태임을 보여 주었다.

$$\hbar\Omega < \frac{\Gamma}{3}$$

여기서 $\hbar\Omega$ 는 임계점(critical point)과 관련된 계의 섭동 특성에너지이고, Γ 는 임계점 에너지 ($E_{c,p}$)에 대한 넓어지기 인자(broadening parameter)이다. 낮은 전기장 상태에서 PR 신호의 형태는 다음과 같이 주어진다[2].

$$\frac{\Delta R}{R} = \text{Re}[Ce^{i\theta}(\hbar\omega - E_{c,p} + i\Gamma)^{-n}] \quad (2)$$

여기서 $\hbar\omega$ 는 광원 에너지이고, C와 θ 는 $\hbar\omega$ 에 따라 변하는 진폭과 위상각이다. n은 임계점의 모양으로 n=2, 2.5, 그리고 3으로 나타낼 수 있으며, 이들은 각각 exciton, 3차원 및 2차원 띠간 전이에 해당된다. 측정된 신호를 식 (2)를 사용하여 fitting한 결과, 기판 GaAs의 띠간격 에너지(E_o)는 1.416 eV ($\Gamma_{g_v} - \Gamma_{g_c}$)이고, Γ 는 11 meV였으며, 띠간격 에너지로부터 약 340 meV 정도 큰 에너지 부근에서 spin orbital split-off($E_o + \Delta_o$) 신호가 관측되었다. 그리고 Al_xGa_{1-x}As 에피층에서 E_o 및 Γ 는 각각 1.726 eV와 25.2 meV였다. 특히 1.42 eV 이상 에너지 영역에서 관측된 FKO 신호를 살펴보면 GaAs 시료에서 환산질량(μ_1)은 가전자대로부터 heavy-hole로 전도대로 전이됨에 관계하므로 계면에서 전기장은 불균일하게 되며, 이종접합 계면으로부터 멀어짐에 따라 전기장이 감소하게 되며, 낮은 변조영역에서 FKO 신호로부터 변조된 전기장은 계면 전기장과 같다고 Shen과 Pollak 등[7-9]에 의해서 보고된 바 있다. 따라서 전기장의 불균일은 PR 결과 분석에 실질적인 영향을 미치지 못하므로 계면 전기장의 값은 low power Franz Keldysh(LPKF)을 만족함을 알 수 있다. 한편 기판 GaAs의 섭동 특성에너지 값이 식 (1)의 조건을 만족시키기에는 다소 큰 값으로 관측된 FKO 신호로부터 띠간격 에너지와 계면 전기장을 구하기 위해 E_o 와 F_j 의 관계 그래프를 Fig. 1(b)에 나타내었다.

그럼에서 측정한 값은 선형함수(linear function)로 피팅한 결과, y축 절편으로부터 구한 띠간격 에너지는 1.415 eV였다. 그리고 $j=1$ 과 $j=2$ 의 에너지 차이(ΔE)는 약 11 meV이며, 계의 섭동 특성에너지($\hbar\omega$)를 나타내는 기울기 값은 약 5.7 meV로서 완충층에 에피층에서의 계면 전기장(E_s)의 값 [2, 9]은 약 1.05×10^4 V/cm였다. 그리고 계면에서 운반자의 농도(N)값[10]은 약 1.3×10^{15} cm⁻³이었다. 이 계산에서 사용된 환산질량의 값은 0.055m₀[11]를 사용하였다.

불순물이 첨가되지 않은 Al_xGa_{1-x}As 에피층 시료의 전형적인 PR 신호를 Fig. 2에 나타내었다.

그럼에서 점선은 실험값이며, 실선은 3차 미분함수 형

Table 1. Parameters obtained from PR measurement in Al_{0.21}Ga_{0.79}As epilayer

Samples	Fit method	TDFF	$E_g - F_1$
GaAs buffer	E_g (eV)	1.416	1.415
	Γ (meV)	11.0	11.0 ($\Delta E = E_2 - E_1$)
	E_g (eV)	1.726	-
Al _x Ga _{1-x} As epi.	Γ (meV)	25.2	-

태(third derivative functional form : TDFF)의 결과를 나타낸 것이다. 이 결과에서 얻은 값들을 Table 1에 요약하였다. 그림에서 본 바와 같이 Al_xGa_{1-x}As 에피층에 의한 PR 신호를 살펴보면 TDFF에 의한 E_g 값은 약 1.726 eV로서 Han[3]과 Huang 등[5]에 의해 보고된 것처럼 주된 신호 부근이며, 0.15 < x < 0.30 범위에서 본 연구에 사용된 시료의 조성(x)이 결정될 수 있으며, Huang^o] 제시한 E_g 와 x의 관계식을 나타내면 아래와 같다.

$$E_g^f(x) = 1.424 + 1.427x + 0.041x^2 \quad (0 < x < 0.45) \quad (3)$$

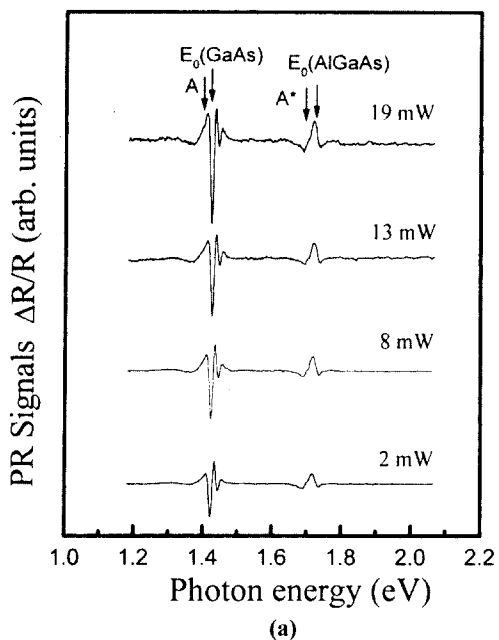
식 (3)을 사용하여 Al 조성비를 구한 결과 약 21%였다. 이 값은 photoluminescence(PL) 측정으로 얻은 값과 좋은 일치를 보였다. 특히 띠 가장자리(band edge)의 PR 신호는 다소 왜곡되고 Al_{0.21}Ga_{0.79}As 에피층의 주된 신호와 약 27 meV 차이를 보이는 A* 피크는 MBE법으로 성장시 존재하는 잔여 불순물인 carbon에 의해 형성되는 신호로 추정된다[12]. 이를 좀 더 상세히 규명하기 위해 변조빔 세기(2~20 mW)에 따른 PR 특성을 Fig. 3(a)에 나타내었다.

그럼에서와 같이 변조빔의 세기를 증가시킴에 따라 PR 신호와 주기는 거의 변화가 없는 반면, 신호의 진폭은 증가하였다. E_g (GaAs), E_g (Al_{0.21}Ga_{0.79}As), 및 A* 피크의 진폭을 변조빔 세기의 변화에 따라 나타내면 Fig. 3(b)와 같다.

변조빔의 세기를 증가시킴에 따라 E_g (GaAs)와 E_g (Al_{0.21}Ga_{0.79}As)의 피크의 진폭은 선형적으로 증가함을 보여 주고 있으며, 불순물과 관련된 A* 피크는 약 10 mW 부근에서 포화됨을 볼 수 있다. 이는 변조빔 세기(I)와 진폭($\Delta R/R$) 사이의 관계가 아래 식과 같이 주어지기 때문이다[13].

$$\frac{\Delta R}{R} \propto I^{\frac{1}{n}} \quad (4)$$

여기서 $\frac{1}{n}$ 은 변조빔 세기에 대한 진폭과의 관계에서



(a)

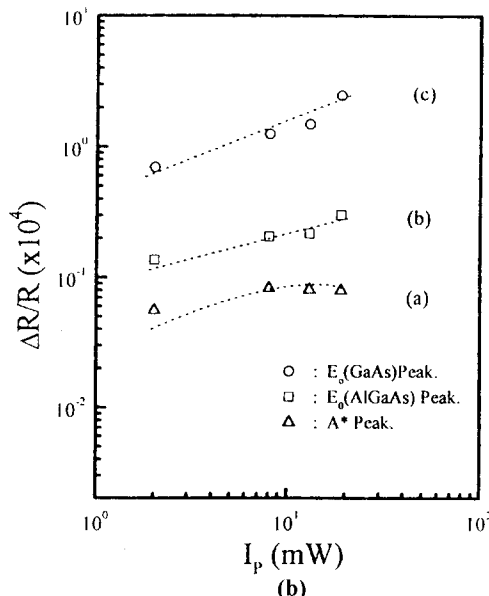


Fig. 3. (a) PR spectra according to modulation beam intensity of the Al_{0.21}Ga_{0.79}As epilayer, (b) The graph of the PR signal amplitude according to modulation beam intensity in Al_{0.21}Ga_{0.79}As epilayer.

기울기를 나타내는 변수로서 임계점 형태를 나타낸다. 특히 이러한 현상은 photoluminescence(PL) 측정에서도 밝혀진 바와 같이 변조빔의 세기를 증가시킴에 따라 밴드간 및 엑시톤 전이에 의한 신호의 진폭은 선형적으로

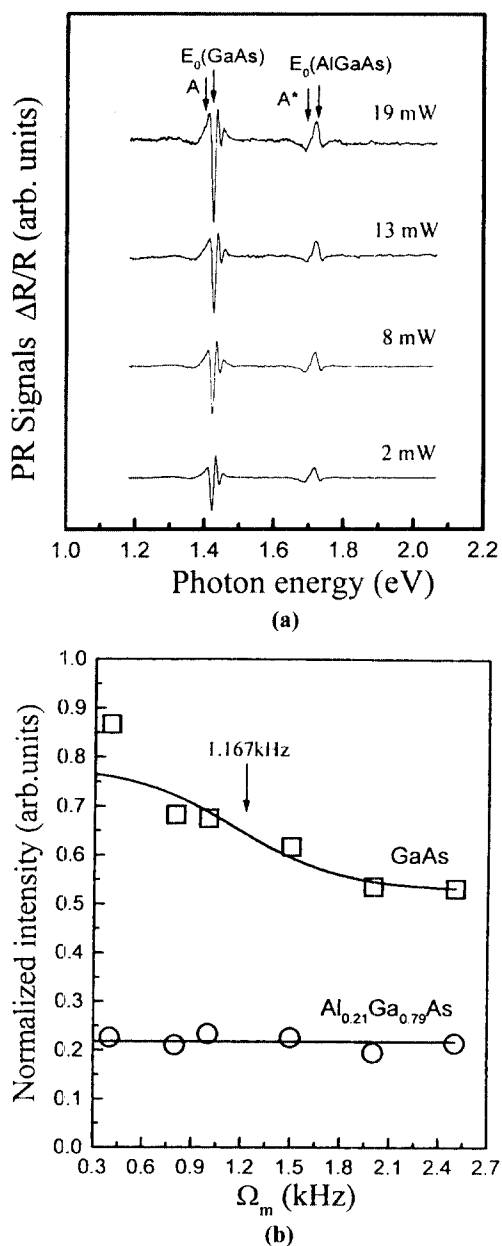


Fig. 4. (a) The PR spectra according to modulation frequency in $\text{Al}_{0.21}\text{Ga}_{0.79}\text{As}/\text{GaAs}$ epilayer, (b) The graph of the PR signal amplitude according to modulation frequency in $\text{Al}_{0.21}\text{Ga}_{0.79}\text{As}$ epilayer.

증가하고, 불순물과 관련된 신호의 진폭은 증가하다가 포화되는 경우와 일치한다[14].

Fig. 4(a)는 변조 주파수 변화에 따른 PR 신호의 변화를 나타낸 것이다.

신호의 형태는 변조 주파수에 거의 무관하며, 주파수가 증가함에 따라 PR 신호의 진폭은 점차 감소함을 볼 수 있다. 이는 GaAs의 계면에서 전자상태의 과도현상[7]으로 설명될 수 있다. Fig. 4(a)로부터 PR 신호의 진폭을 변조 주파수의 함수로 나타내면 Fig. 4(b)와 같다.

변조 주파수 의존성의 메카니즘을 살펴보면, 변조빔이 단속될 때 트랩 점유도와 전기장 강도는 원래의 전위로 돌아가기 위해서 특성시간으로 봉괴하게 되며, 그 주된 주파수 의존 요인으로는 표면, 계면 및 깊은준위(deep level)에서 전기적 상태의 과도현상[15]에 의한 것으로 알려지고 있다. 그림과 같이 주어진 온도에서 PR 신호의 진폭은 주파수 증가에 따라 GaAs 완충층에서는 점차로 감소하다가 약 1.167 kHz 이상의 변조 주파수에서 급격하게 감소하였다. 이는 Shen 등[7]이 보고한 결과에서와 같이 변조빔의 침투깊이는 주파수가 증가할수록 감소하기 때문이다. 이로부터 추론되는 GaAs 완충층의 응답 트랩 특성시간(τ_t)이 약 0.086 msec 정도로 빠른 시간임을 알 수 있다. 반면, $\text{Al}_{0.21}\text{Ga}_{0.79}\text{As}$ 에피층에 대해서는 변화가 거의 없기 때문에 측정 주파수 영역에서 빠른 응답 트랩 특성시간을 가지는 상태들(states)은 out-of-phase 신호 기여는 작기 때문에[7]에 응답 트랩 특성시간(τ_t)을 구할 수가 없었다. 다만 $\text{Al}_{0.21}\text{Ga}_{0.79}\text{As}$ 에피층의 τ_t 은 τ_s 보다 짧을 것이며, 이는 $\text{Al}_{0.21}\text{Ga}_{0.79}\text{As}$ 에피층의 결정성과 관계지어 생각할 수 있는 동기를 제공하리라 사료된다.

Fig. 5(a)와 (b)는 Fig. 1(a)에서 나타난 피크 A^* 를 규명하기 위해 시간에 따라 화학적 식각을 한 후, 상온에서 측정한 PR 신호 및 PR 신호의 진폭을 식각 시간의 함수로 나타내었다.

이때 식각 용액은 $\text{H}_2\text{SO}_4 : \text{H}_2\text{O}_2 : \text{H}_2\text{O}(1:1:8)$ 를 사용하였으며, 식각률은 약 250 Å/sec 정도[15]였다. 2초와 6초간 식각을 하였을 때는 PR 신호의 진폭 변화는 거의 없었으며, 1.42 eV 부근에서 $E_0(\text{GaAs})$ 신호는 두 개의 신호가 중첩되어 나타났는데, 이는 화학적 식각[14-16]으로 GaAs 기판에서 나타나는 3차 미분형 신호와 GaAs 완충층에 의해 나타나는 FKO 신호가 중첩되어 나타남을 알 수 있다. 에피층과 완충층이 없어지는 40초간 식각하였을 때는 $\text{Al}_{0.21}\text{Ga}_{0.79}\text{As}$ 에피층과 GaAs 완충층으로부터 나타나는 신호는 사라지고, 전형적인 반절연성 GaAs 시료에서 볼 수 있는 PR 신호만을 관측할 수 있었다. 따라서 식각 전, PR 스펙트럼에서 나타난 피크

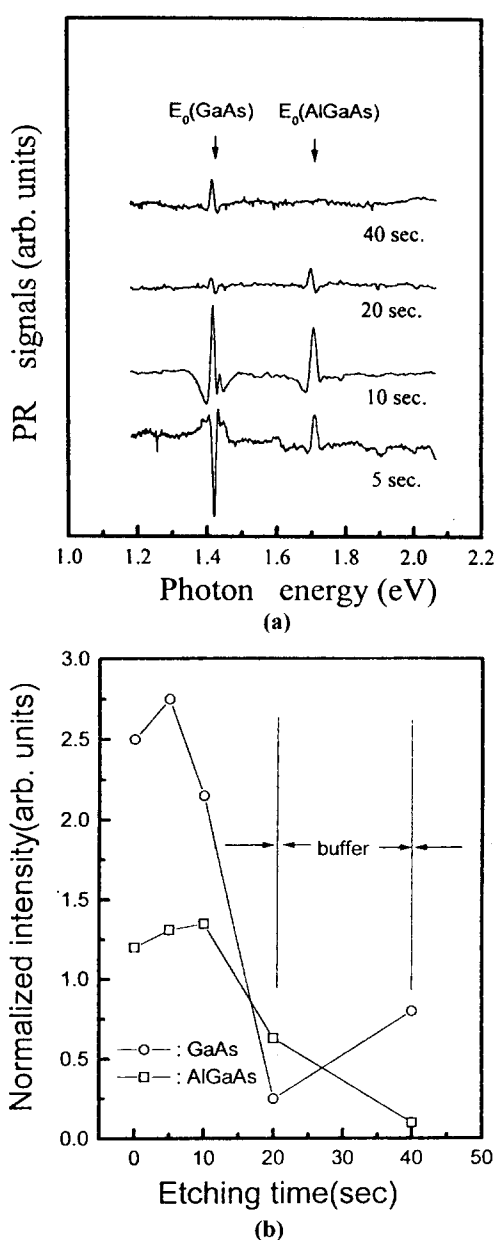


Fig. 5. (a) The PR spectra according to etched thickness in $\text{Al}_{0.21}\text{Ga}_{0.79}\text{As}$ epilayer, (b) The graph of PR signal amplitude according to etched thickness in $\text{Al}_{0.21}\text{Ga}_{0.79}\text{As}$ epilayer.

A는 GaAs 기판에서 나타나는 신호임을 알 수 있다. 특히, 10초간 식각을 하였을 때는 기판과 완충층의 간섭이 사라지는 PR 신호의 변화가 나타났다. 이는 에너지 변화가 아니라 상변화(phase shift) 때문이다.

4. 결론

MBE법에 의해 성장된 $\text{Al}_x\text{Ga}_{1-x}\text{As}$ 에피층의 특성을 PR로 측정 및 분석한 결과, 다음과 같은 결론을 얻었다.

- $\text{Al}_x\text{Ga}_{1-x}\text{As}$ 에피층에서는 저전기장 조건하에 TDFF법으로 얻은 완충층 GaAs에 의한 E_0 와 Γ 는 1.416 eV와 11 meV였으며, $\text{Al}_x\text{Ga}_{1-x}\text{As}$ 에피층에서는 1.726 eV와 25.2 meV였다. 특히, low power Franz Keldysh (LPFK)를 만족하는 GaAs 완충층에 의한 FKO 분석에서 E_j 대 F , 그레프로부터 얻은 값 1.415 eV와 거의 일치하였으며, 계면 전기장은 $1.05 \times 10^4 \text{ V/cm}$ 이며, 운반자 농도는 $1.3 \times 10^{15} \text{ cm}^{-3}$ 이었다.

- $E_0(\text{Al}_{0.21}\text{Ga}_{0.79}\text{As})$ 신호 아래 A^* 피크는 시료 성장시 존재하는 불순물 carbon에 의한 것으로 완충층 GaAs보다 다소 PR 신호 세기가 낮고 왜곡된 신호를 관측하였다.

- 변조빔 세기에 따른 PR 측정으로 $E_0(\text{GaAs})$ 와 $E_0(\text{Al}_{0.21}\text{Ga}_{0.79}\text{As})$ 의 진폭은 변조빔 세기에 비례하였고, A^* 피크는 포화됨에 따라 불순물과 관련된 것임을 알았다.

- 변조 주파수 의존 실험에서 GaAs 완충층의 응답 트랩 특성시간은 약 0.086 ms정도이며, $\text{Al}_{0.21}\text{Ga}_{0.79}\text{As}$ 에피층의 τ_e 은 τ_i 보다 짧을 것이며, 이는 $\text{Al}_{0.21}\text{Ga}_{0.79}\text{As}$ 에피층의 결정성과 관계지어 생각할 수 있는 동기를 제공해 리라 사료된다.

- 1.42 eV 부근의 두 개의 중첩된 PR 신호는 화학적 식각으로 GaAs의 기판에 의해 나타나는 3차 미분형 신호와 GaAs 완충층에 의해 나타나는 FKO 신호가 중첩되어 나타남을 알 수 있었다.

참고문헌

- D. E. Aspnes, "Handbook on Semiconductors", edited by T. S. Moss (North-Holland, Amsterdam, 1980), Vol. 2, p109.
- D. E. Aspnes, *Surf. Sci.* **37**, 418 (1973).
- A. C. Han, M. Wojtowicz, D. Pascua, T. R. Block, and D. C. Streit, *J. Appl. Phys.* **82**, 2607 (1997).
- M. L. Gray and F.H. Pollak, *J. Appl. Phys.* **74**, 3426 (1993).
- D. Huang, G. Ji, U.K. Reddy, H. Morkoc, F. Xiong, and T. A. Tombrello, *J. Appl. Phys.* **63**, 5445(1988).
- M. Sydor, J. Angelo, J. J. Wilson, W. C. Mitchel, and M. Y. Yen, *Phys. Rev.* **B40**, 8473 (1989).
- H. Shen, F. H. Pollak, J. M. Woodall, and R. N.

- Sacks, *J. Vac. Sci. Technol.* **B7**, 804 (1989).
8. X. Yin, F. H. Pollak, L. Pawlowicz, T. O'Neill, and M. Hafizi, *Appl. Phys. Lett.* **56**, 1278 (1990).
9. E. M. Goldys, A. Mitchell, T. L. Tansley, R. J. Egan, and A. Clark, *Optics Communications*, **124**, 392 (1996).
10. M. Sydor, N. Jahren, W. C. Mitchel, W. V. Lampert, T. W. Haas, M. Y. Yen, S. M. Mudare, and D. H. Tomich, *J. Appl. Phys.* **67**, 7423 (1990).
11. O. J. Glembocki, B. V. Shanabrook, N. Bottka, W. T. Beard, and J. Comas, *Appl. Phys. Lett.* **46**, 970 (1985).
12. V. Swaminathan, M. D. Sturge, and J. L. Zilko, *J. Appl. Phys.* **52**, 6306 (1981).
13. P. J. Hughes, B. L. Weiss, and T. J. C. Hosea, *J. Appl. Phys.* **77**, 6472 (1995).
14. N. C. Tayler, R. W. Bicknell, D. K. Blanks, T. H. Myers, and J. F. Schetzna, *J. Vac. Sci. Technol.* **A3**, 76 (1985).
15. P. J. Hughes and B. L. Weiss, *J. Vac. Sci. Technol.* **B14**, 632 (1996).
16. N. Pan, X. L. Zheng, H. Hendriks, and J. Carter, *J. Appl. Phys.* **68**, 2355 (1990).